

DST를 위한 高速 計算 알고리즘

(A Fast Computational Algorithm for the Discrete Sine Transform)

郭 燥 星*, 申 建 淳**

(Hoon Sung Kwak and Gun Soon Shin)

要 約

本論文은 Kekre와 Solanki가 定義한 discrete sine transform(DST)의 高速 計算 알고리즘을 提示하였다.

技巧들은 DST 메트릭스를 $M = \log_2 2N$ 개의 메트릭스로 계승화하여 구현하였으며 샘플 데이터 수 N 은 2의 累乘이다. 계승화된 각 인수 메트릭스는 어느 행열에서도 零아닌 실수값을 둘 이상 포함하지 않는다. 이 방법의 결과로서 DST의 高速 計算을 위한 정확한 알고리즘이 얻어졌다. 또한 본 알고리즘은 하드웨어 또는 소프트웨어 구현이 될 수 있도록 신호흐름선도로 예시되었다.

Abstract

This paper represents a fast computational algorithm for the discrete sine transform defined by Kekre and Solanki. Techniques are developed to factor the discrete sine transform matrix into $M = \log_2 2N$ matrices, where the number(N) of sampled data points is a power of two. Each factorial matrix contains not more than two non-zero real elements in any row or column. As a result of this method, the exact algorithm for the fast discrete sine transform is accomplished. The algorithm is illustrated by a signal flow graph, which may be readily translated to hardware or software implementation.

I. 序 論

最近 디지털 이미지 처리에 變換(transform) 技術이 導入되고 있다.^[1, 2, 4, 5]

푸리에 變換은 高速푸리에 變換(fast Fourier transform) 알고리즘이 發表되므로서 더욱 널리 使用되고 있음은 잘 알려진 事實이다.

Karhunen-Loeve 變換(KLT)은 이미지처리에 있어

統計的으로 最適인 性質을 가지나 高速 計算 알고리즘을 찾기 어려워 KLT에 가까운 變換들이 研究 發表되고 있다.^[7, 8, 9]

1974年 Ahmed와 Rao^[7] 등은 discrete cosine transform(DCT)을 提案하였으며 1976年 Jain^[8]은 discrete sine transform 1(DST 1)을 定義하였다.

그후 1978年 Kekre와 Solanki^[9]는 DST1과는 性質이 다른 discrete sine transform 2(DST 2)를 다시 定義하였다.

1977年 Chen^[10] 등과 1983年 곽^[14] 등은 DCT에 대한 高速 알고리즘을 提示하였으며 1980年 Yip와 Rao^[11]는 DST 1에 對한 高速 알고리즘을, 그리고 1982年 Wang^[12]은 DST 2에 對한 高速 알고리즘을 Chen의 方法과 類似한 方法으로 각각 發表하였다.

*正會員, 全北大學校 工科大學 電氣工學科
(Dept. of Electrical Eng., Chonbuk National Univ.)

**正會員, 金烏工大 電子工學科
(Kum Oh Institute of Technology)

接受日字：1984年 9月 5日

그러나 Chen이 提案한 高速 알고리즘은 近似化 알고리즘이므로 Wang에 의한 DST 2 高速 알고리즘 역시 誤差를 갖는다.

이러한 誤差는 어떤 파라메타 例를 들면, 상관계수(ρ)의 變化에 따라 變換들의 特性과 성능에 영향을 준다.^[13]

本研究는 定義된 DST 2에 일치하는 高速 알고리즘에 대해 고찰한다. 샘플테이터 N 이 8인 경우^[15]와 똑같은 方法을 N 이 16인 경우에 적용하였으며 나아가 더 큰 N 에 대해서도 확장할 수 있음을 고찰하였다.

또 계산 결과를 정의된 DST 2의 값들과 일치되는지 여부를 확인하였으며, 흐름의 정도를 알기 위하여 Wang의 값들과 비교하였다. 高速 變換과 逆變換을 신호흐름線圖로 세시하였고 다른 高速 變換 알고리즘들과 비교하였다.

II. DST2 高速 計算 알고리즘

지금 샘플데이터를 N개씩 취하여 變換시킨다고 할 때 Kekre와 Solanki에 의해 定義된 DST2는 다음式 (1)과 같다.

$$\Phi_{ii} = \sqrt{\frac{2}{N}} \sin \left[\frac{(i+1)(2j+1)\pi}{2N} \right] \quad \begin{matrix} i=0, 1, \dots, N-2 \\ j=0, 1, \dots, N-1 \end{matrix}$$

$$= (-1)^j (N)^{-1/2} \quad \begin{matrix} i=N-1 \\ j=0, 1, \dots, N-1. \end{matrix} \quad (1)$$

여기서 N 은 高速 計算을 위하여

$$N=2^n \quad (2)$$

을 택한다. 단, n 은 正의 整數

N이 16일 때 式(1)로 부터 얻은 變換 메트릭스 $[\Phi_{ij}]_{16}$ 은 다음 式(3)과 같다.

$$[\Phi_{ij}]_{16} = \sqrt{\frac{2}{16}} \begin{bmatrix} \sin \frac{\pi}{32} & \sin \frac{3\pi}{32} & \sin \frac{5\pi}{32} & \dots & \sin \frac{31\pi}{32} \\ \sin \frac{2\pi}{32} & \sin \frac{6\pi}{32} & \sin \frac{10\pi}{32} & \dots & \sin \frac{62\pi}{32} \\ \vdots & \vdots & \vdots & & \vdots \\ \sin \frac{3\pi}{32} & \sin \frac{9\pi}{32} & \sin \frac{15\pi}{32} & \dots & \sin \frac{93\pi}{32} \\ \sin \frac{14\pi}{32} & \sin \frac{42\pi}{32} & \sin \frac{70\pi}{32} & \dots & \sin \frac{434\pi}{32} \\ \sin \frac{15\pi}{32} & \sin \frac{45\pi}{32} & \sin \frac{75\pi}{32} & \dots & \sin \frac{465\pi}{32} \\ 0.707 & -0.707 & 0.707 & \dots & 0.707 \end{bmatrix} \quad (3)$$

여기서 S_n , C_n , C_0 等을 다음과 같이 놓는다

$$\begin{aligned} Z_n &= \sin \frac{(n-1)\pi}{32} \\ C_n &= \cos \frac{(n-1)\pi}{32} \\ C_1 &= 0.7071 \end{aligned} \quad (4)$$

$[\Phi_n]_{16}$ 의 sin 값들은 표 1에 나타난 값을 계속 반복 가지므로 S_n 과 C_n 으로 表示할 수 있다. 여기서 n 은 9 以下이다.

표 1. N=16 DST 2 을 위한 곱셈기

Table 1. Multipliers for 16-point discrete sine transform 2.

n	Cn	Sn
2	0.9951	0.0980
3	0.9807	0.1950
4	0.9569	0.2902
5	0.9238	0.3826
6	0.8819	0.4713
7	0.8314	0.5555
8	0.7730	0.6343
9	0.7071	

이제 계승 메트릭스로 만들기 위해 $[\Phi_{ij}]_{16}$ 메트릭스를 式(5)와 같은 우수 열 부호교환 메트릭스 $[W_{ij}]_{16}$ 을 곱하여 그림 1과 같은 $[\phi_{ij}]_{16}$ 를 얻는다.

이제 삼각함수의 公式 (6)은 式(7)과 같은 관계에 있다.

$$\begin{aligned} \sin nx \sin mx &= \frac{1}{2} \cos(n-m)x - \frac{1}{2} \cos(n+m)x \\ \cos nx \cos mx &= \frac{1}{2} \cos(n-m)x + \frac{1}{2} \cos(n+m)x \quad (6) \\ \cos nx \sin mx &= \frac{1}{2} \sin(n+m)x - \frac{1}{2} \sin(n-m)x \\ S_m S_n &= \frac{1}{2} (C_{m-n+1} - C_{m+n-1}) \\ C_m C_n &= \frac{1}{2} (C_{m-n+1} + C_{m+n-1}) \quad (7) \\ C_m S_n &= \frac{1}{2} (S_{m+n-1} - S_{m-n+1}) \end{aligned}$$

$$S_m C_n = \frac{1}{2} (S_{m+n-1} + S_{m-n+1})$$

$$S_9C_2 = \frac{1}{2}(S_{10} + S_8)$$

$$C_2 S_2 = \frac{1}{2} (S_{10} - S_8)$$

그러므로

$$-\dot{S}_8 = C_8 S_2 - \dot{S}_9 C_2 \quad (11)$$

이렇게 하여 얻은 式(9), (10), (11) 等의 값들을 그림 1
의 값들에 치환하므로서 다음 그림 2 와 같은 결과를
얻는다.

그림 2는 그림 3($[A]_{16}$ 메트릭스)과 그림 4($[R]_{16}$ 메트릭스)와 같은 메트릭스 곱으로 놓을 수 있다.

그림 1. DST 2, N=16

Fig. 1. Discrete sine transform 2, N=16.

式(7)을 利用하여 그림 1의 $-S_4$, $S_6 - S_8$ 等의 值들을
다음 式의 值들로 变形시킨다. 即, C_5S_5 는

$$C_5 S_2 = \frac{1}{2} (S_6 - S_4) \quad (8-a)$$

$$S_5 C_2 = \frac{1}{2} (S_6 + S_4) \quad (8-b)$$

그러므로

$$-S_4 = C_5 S_2 - S_5 C_2 \quad (9)$$

또 $(8 - a)$ 와 $(8 - b)$ 를 합하여

$$S_6 = C_5 S_2 + S_5 C_2 \quad (10)$$

이다. $-S_8$ 을 구하기 위해

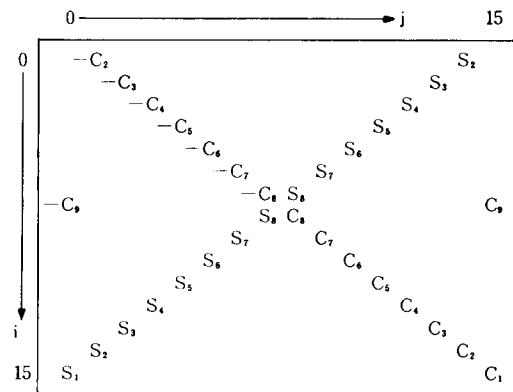


그림 3. DST 2 의 $[A]_{16}$ 메트릭스

Fig. 3. Matrix $[A]_{16}$ of discrete sine transform 2.

또 그림 4는 그림 5($[S]_{16}$ 메트릭스)와 그림 6($[T]_{16}$ 메트릭스)의 곱 메트릭스로 나눌 수 있는데 그림 5와

그림 2. 계승화를 위한 DST 2, N=16

Fig. 2. Discrete sine transform 2 prepared for factoring, $N=16$.

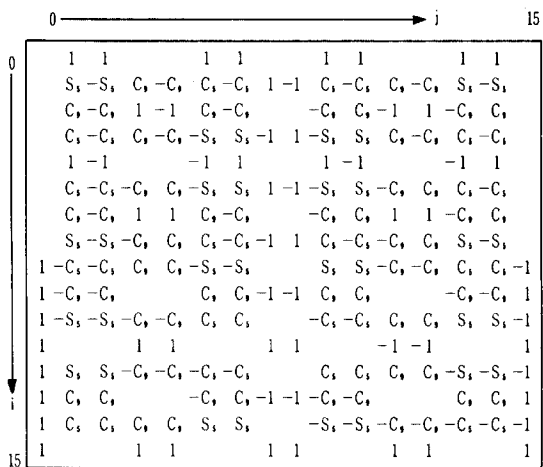


그림 4. $[R]_{16}$ 메트릭스 : $[S]_{16}$ 와 $[T]_{16}$ 메트릭스의 곱
 Fig. 4. Matrix $[R]_{16}$: product of matrix $[S]_{16}$ and matrix $[T]_{16}$

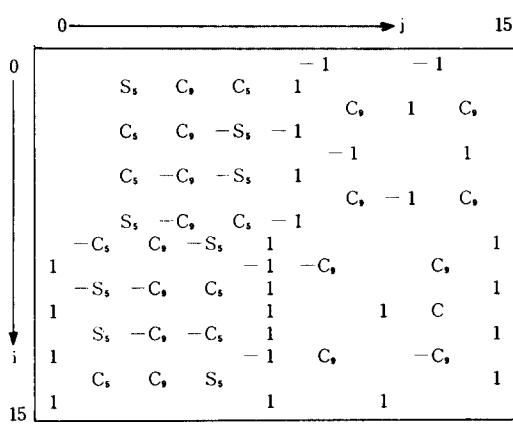


그림 5. $[S]_{16}$ 메트릭스 : $[B]_{16}$ 과 $[C]_{16}$ 메트릭스의 곱
 Fig. 5. Matrix $[S]_{16}$: product of matrix $[B]_{16}$ and matrix $[C]_{16}$.

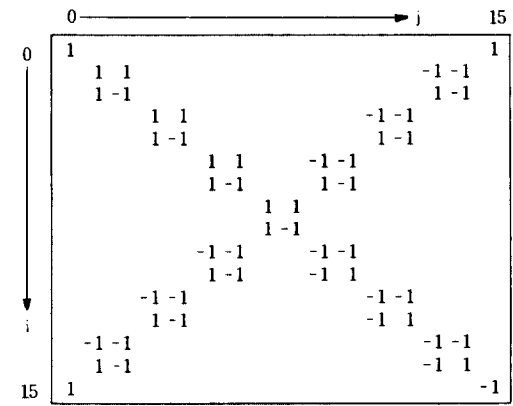


그림 6. $[T]_{16}$ 메트릭스 : $[D]_{16}$ 과 $[E]_{16}$ 메트릭스의 곱
Fig. 6. Matrix $[T]_{16}$: product of matrix $[D]_{16}$ and matrix $[E]_{16}$.

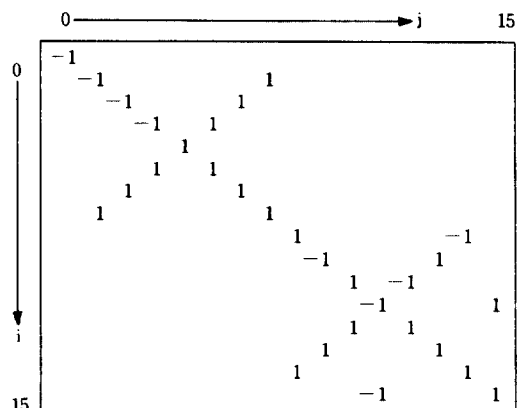


그림 7. DST2의 $[B]_{16}$ 메트릭스
Fig. 7. Matrix $[B]_{16}$ of discrete sine transform 2.

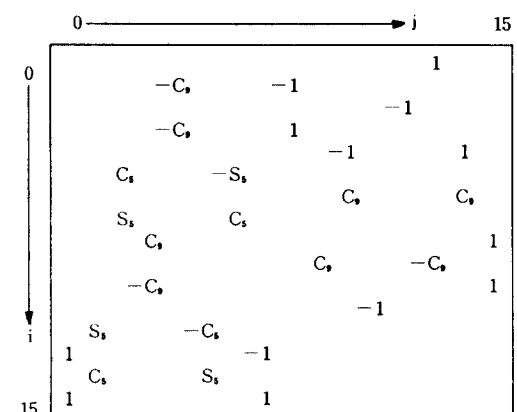


그림 8. DST 2 의 $[C]_{16}$ 메트릭스

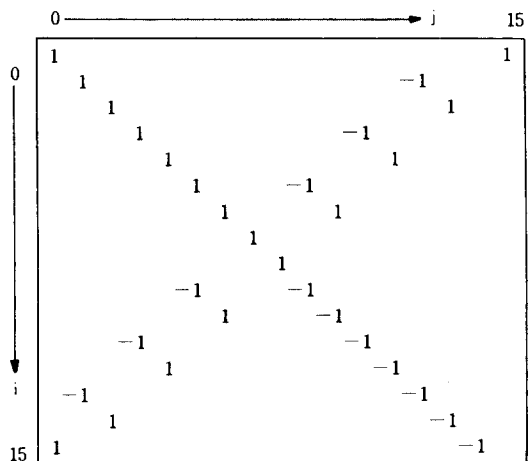


그림 9. DST 2 의 $[D]_{16}$ 메트릭스
 Fig. 9. Matrix $[D]_{16}$ of discrete sine transform 2.

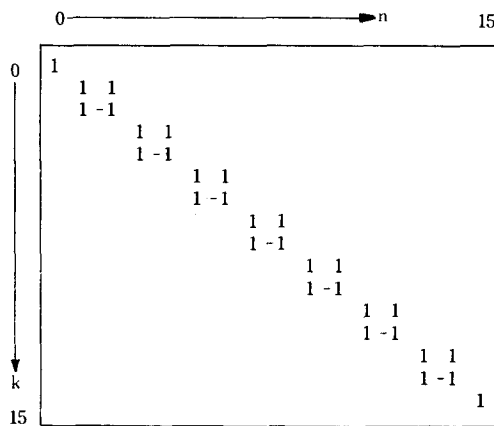


그림10. DTS 2 의 $[E]_{h6}$ 메트릭스

Fig. 10. Matrix $[E]_{16}$ of discrete sine transform 2.

6은 각 행열에 2개 이상의 값 을 가지므로 이를 다시 분해시켜 각 행열에 적어도 2개의 값만을 갖도록 한다. 즉 그림5는 그림7($[B]_{16}$ 메트릭스)과 8($[C]_{16}$ 메트릭스)의 메트릭스로, 그림6은 그림9($[D]_{16}$ 메트릭스)와 10($[E]_{16}$ 메트릭스)의 메트릭스로 다시 바꾼다.

결국, 그림 1의 변형인 그림 2 메트릭스는 $[A]_{16}[B]_{16}$, $[C]_{16}[D]_{16}$, $[E]_{16}$ 로 구성되며 각 메트릭스는 어느 행렬에서도 둘 이상의 값을 가지지 않는다. 이제까지 고찰한 $N=16$ 인 경우는 N 이 8인 경우^[15]와 똑같은 방법으로 전개한 것이다. 이제 N 이 8, 16인 경우를 정리하면서 더 큰 N 에 대해서 확장할 수 있음을 고찰한다. $N=8$ 일 때 변환코자하는 메트릭스 $[\phi_1]_8$ 은 $[A]_8$ 의 인수를 가지고 있다. 즉, $[\phi_1]_8 = [A]_8 \cdot [R]_8$

여기서,

$$[A]_s = \begin{pmatrix} -C_2 & & & S_1 \\ & -C_3 & & S_2 \\ & & -C_4 & S_3 \\ -C_5 & & & C_5 \\ & S_4 & C_4 & C_3 \\ & S_3 & C_3 & C_2 \\ & C_2 & C_2 & C_1 \end{pmatrix} \quad (12)$$

변환 매트릭스 $[\phi_i]_s$ 과 규칙적 배열을 갖는 $[A]_s$ 을 알면 $[R]_s$ 를 구할 수 있으며, $[R]_s$ 은 다시 $[C]_s$ 과 규칙적인 배열을 갖는 $[T]_s$ 로 나눌 수 있다.

$$[R]_s = [C]_s \cdot [T]_s$$

$$[R]_s = \begin{pmatrix} 1 & 1 & & 1 & 1 \\ \zeta_5 & -\zeta_5 & 1 & -1 & \zeta_5 & -\zeta_5 \\ 1 & -1 & & -1 & 1 \\ \zeta_5 & -\zeta_5 & -1 & 1 & \zeta_5 & -\zeta_5 \\ 1 & -\zeta_5 & -\zeta_5 & & \zeta_5 & \zeta_5 & -1 \\ 1 & & -1 & -1 & & 1 \\ 1 & \zeta_5 & \zeta_5 & & -\zeta_5 & -\zeta_5 & -1 \\ 1 & & 1 & 1 & & \end{pmatrix} \quad (13)$$

$$[C]_s = \begin{bmatrix} & & -1 & \\ & \zeta_s & 1 & \\ & & & \\ & -\zeta_s & -1 & \\ \end{bmatrix} \quad (14)$$

$$[T]_s = \begin{pmatrix} 1 & & & & & 1 \\ & 1 & 1 & -1 & -1 & \\ & 1 & -1 & 1 & -1 & \\ & & & 1 & 1 & \\ & & & 1 & -1 & \\ & -1 & -1 & -1 & -1 & \\ & -1 & -1 & -1 & 1 & \\ 1 & & & & & -1 \end{pmatrix} \quad (15)$$

$[R]_s$ 과 $[T]_s$ 을 알면 $[C]_s$ 을 구할 수 있게 된다.

$N=16$ 인 경우에도 $[\phi_1]_{16}$ 은 $[A]_{16}$ 과 $[R]_{16}$ 의 곱으로 되며 $[A]_{16}$ 은 $[A]_8$ 에서와 같이 규칙적인 배열을 가지므로 $[\phi_1]_{16}$ 은 $[A]_{16}$ 으로부터 $[R]_{16}$ 을 구한다.

$$[\phi_{ij}]_{16} = [A]_{16} \cdot [R]_{16} \quad (16)$$

여기서 $[A]_{16}$ 와 $[R]_{16}$ 은 그림3, 4에 나타나 있다. $[R]_{16}$ 은 다시 규칙적인 배열을 갖는 $[T]_{16}$ 을 포함하고 있다.

$$\text{즉, } [R]_{16} = [S]_{16} \cdot [T]_{16} \quad (17)$$

$[T]_{16}$ 은 그림 6에 나타나 있으며, $[T]_8$ 과 비교한다면 $[T]_{32}$ 를 어렵지 않게 얻을 수 있을 것이다. 구해지는 $[S]_{16}$ (그림 5)은 다시 규칙적 배열을 갖는 $[B]_{16}$ (그림 7)을 포함하고 있으므로 $[C]_{16}$ (그림 8)을 또한 구할 수 있게 된다.

$$[S]_{16} = [B]_{16} \cdot [C]_{16} \quad (18)$$

$[T]_{16}$ 과 같은 형태의 메트릭스는 항상 그림 9, 10과 같은 형태의 메트릭스로 쓸 수 있다. 이렇게 볼 때, 고속 알고리즘을 구현을 위해서 $N = 8$ 인 경우에는 4개의 베트릭스, $N = 16$ 인 경우에는 5개의 메트릭스로 구성됨을 알 수 있다. $N = 32$ 의 경우에도 같은 방법으로 구할 수 있었으며 이때에는 6개의 메트릭스로 구성된다.

일반적인 전개를 위해 기본 메트릭스 $[A]_N$ 과 규칙적인 배열을 갖는 $[B]_N$ 및 $[T]_N$ 등은 다음 식(21)(21)(22)와 같은 형태의 메트릭스가 된다.

여기서 $[A]_N$ 은 맨처음 인수 메트릭스로 나타나며 인수 베트릭스들의 배열에서 처음에 위치한다. $[T]$, 메트릭스는 $[\phi_i]_N$ 속에서 $[A]_N$ 인수를 제하고 남는 $[R]_N$ 메트릭스 속의 인수 메트릭스로 존재하나 배열순서로는 마지막 번째에 위치한다.

이 $[T]_N$ 메트릭스는 반드시 두인수를 가지므로 두개

의 메트릭스인 식(23)(24)로 나눠 표시한다. 또 N 값이 커짐에 따라서 $[B]_n$, $[F]_n$ 등과 같은 인수 메트릭스가 추가된다. 이러한 진행을 계속하여 남는 메트릭스가 어느 행열에도 2개 이상의 값을 갖지 않을때까지 반복한다.

[ϕ_1] 매트릭스 속에 들어있는 인수 매트릭스의 수 M은 샘플 데이터 수 N가 주어지면 다음 식(10)으로부터 구할 수 있다.

$$M = \log_2 N \quad (19)$$

$$[A]_N = \begin{bmatrix} -C_2 & & & & S_2 \\ -C_3 & \ddots & & & S_3 \\ & \ddots & -C_{\frac{N}{2}-1} & & S_{\frac{N}{2}-1} \\ & & -C_{\frac{N}{2}} & S_{\frac{N}{2}} & \\ & & S_{\frac{N}{2}} & C_N & \\ & \ddots & & C_{\frac{N}{2}-1} & \\ & & S_{\frac{N}{2}-1} & & \\ & & & & C_2 \\ & & & S_2 & \\ C_1 & & & & C_1 \end{bmatrix} \quad (20)$$

III. 신호흐름선도와 비교 고찰

DST 2의 高速 計算을 하기 위해 Ⅱ장에서 유도한 인

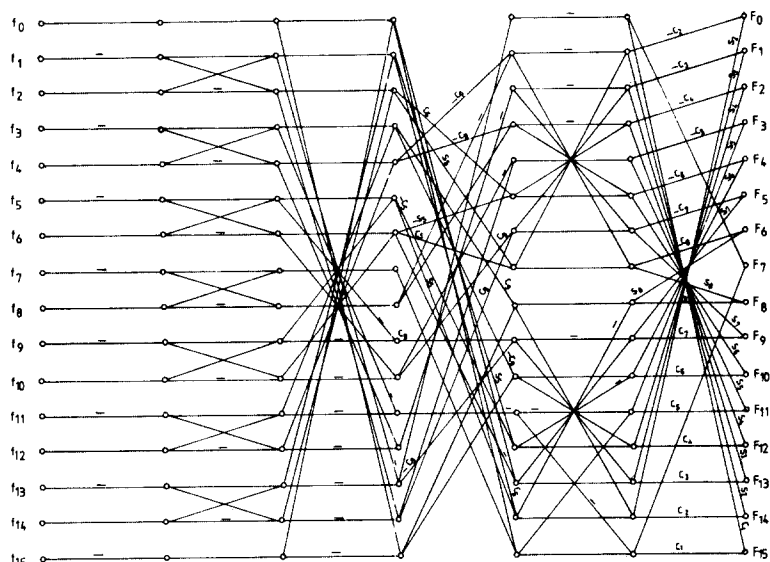


그림11. DST 2를 위한 고속 신호흐름선도, N=16

Fig.11 Fast signal flow graph for forward discrete sine transform 2, N=16.

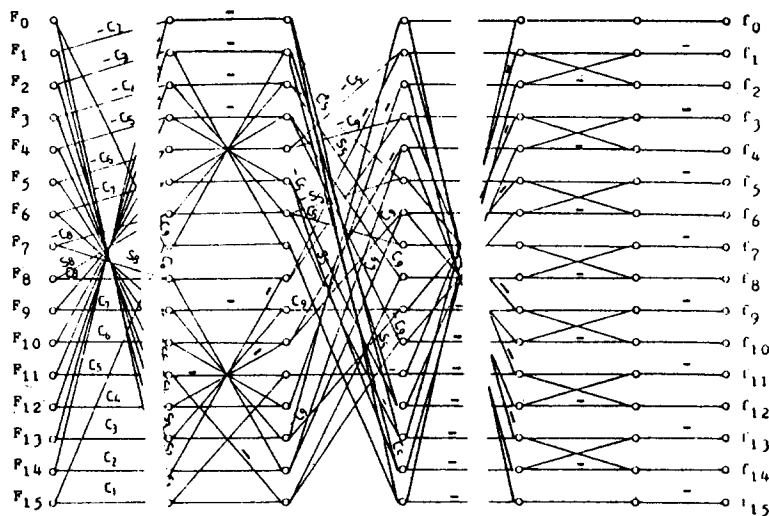


그림12. DST 2 역변환을 위한 고속신호흐름선도, N=16

Fig. 12. Fast signal flow graph for inverse discrete sine transform 2, N=16.

수 베트릭스들로부터 신호흐름선도를 그림11, 12에 나타내었다.

순방향 DST2를 위한 고속 신호흐름선도를 나타낸 그림11의 첫단에 우수번째마다 표시된 음의 부호는 우수열 부호교환이 됨을 뜻하며 DST2 역변환을 위한 고속 신호흐름선도를 나타낸 그림12의 마지막 단에서는 이를 다시 환원시키는 음의 부호가 표시되어 있다.

표2는 여러 고속변환 알고리즘들에 대한 연산수들을 비교한 것이다. N=16일때 DST2를 직접 연산하면 덧셈수와 곱셈수가 240개와 256개이지만 그림11을 통한 연산은 덧셈 및 곱셈수가 71개와 48개로 된다.

표 2. 여러 변환 알고리즘에 대한 덧셈과 곱셈수
Table 2. Numbers of adders and multipliers to various algorithm for the transform.

Transform	8 (7)*		16(15)*		32(31)*	
	덧셈수	곱셈수	덧셈수	곱셈수	덧셈수	곱셈수
DCT	56	64	240	256	992	1024
FDCT by Chen & Fralick	26	16	74	44	194	116
CMT for FDCT by Kwak & Rao	34	16	106	56	170	136
DST2	56	64	240	256	992	1024
FDST2 by Wang	26	16	74	44	194	116
본논문	26	20	71	48	182	140
DST1	(42)	(49)	(210)	(225)	(930)	(961)
FDST1 by Yip & Rao	(22)	(8)	(62)	(30)	(166)	(54)

*표는 DST1의 샘플 데이터 수를 표시한 것이다.

이것은 Wang의 방법과 비교할 때 곱셈수는 4개가 많고 덧셈수는 3개가 적게 나타났다. 또 N=32경우 Wang의 방법보다 덧셈수는 12개 적지만 곱셈수는 많게 나타났다. 그러나 본 연구방법의 알고리즘을 통한 계산 결과는 정의된 DST2와 일치하지만 Wang의 방법을 통한 계산 결과는 N=16에서 24개의 오차값을 가지며, N=32에서는 무려 240개의 값들이 오차를 갖는다.

이러한 관계는 DCT의 고속 계산 알고리즘에서 Chen의 FDCT와 Kwak의 CMT에서도 찾아 볼 수 있다.
N=16일 때, 정의된 DST2의 값들과 Wang의 알고

표 3. 정의된 DST2의 값과 Wang의 방법과 다른 값들(N=16)

Table 3. Different values between Wang's method and DST2 defined(N=16).

$\phi_{i,j}$ 항	정의식과 본 연구방법	Wang의 방법
$\phi_{0,5}$ 와 $\phi_{0,10}$	0.47139	0.09055
$\phi_{0,2}$ 와 $\phi_{0,13}$	0.8819	0.50108
$\phi_{0,1}$ 와 $\phi_{0,14}$	0.9509	0.41835
$\phi_{3,5}$ 와 $\phi_{3,10}$	0.29028	0.58610
$\phi_{3,2}$ 와 $\phi_{3,13}$	0.95069	0.66112
$\phi_{3,1}$ 와 $\phi_{3,14}$	0.47139	0.53046
$\phi_{4,5}$ 와 $\phi_{4,10}$	0.9569	0.77141
$\phi_{4,2}$ 와 $\phi_{4,13}$	0.29028	0.04751
$\phi_{4,1}$ 와 $\phi_{4,14}$	0.8819	0.58859
$\phi_{7,5}$ 와 $\phi_{7,10}$	0.8819	0.9194
$\phi_{7,2}$ 와 $\phi_{7,13}$	0.47139	0.43388
$\phi_{7,1}$ 와 $\phi_{7,14}$	0.2902	0.34331

리즘을 통한 계산결과가 서로 다른 값들을 표3에 나타내었다.

Wang의 방법은 주어지는 N값에 따라 쉽게 알고리즘을 구현할 수 있다는 장점은 있으나 N값이 커감에 따라 오차를 갖는 값을 수도 계속 커가지는 단점을 가지고 있다.

IV. 結 論

이미지처리등에 사용되는 변환중에서 DST 2의 고속계산 알고리즘을 변환 메트릭스속에 규칙적인 배열을 가진 인수메트릭스들로 부터 계승화시켜 나감으로서 얻을 수 있음을 보였다. 이때 변환메트릭스의 샘플 데이터 수가 N인 경우, 인수메트릭스 수는 $\log_2 N$ 개가 된다.

N이 8, 16, 32인 예에서 Wang의 방법과 비교할 때 덧셈수는 적으나 곱셈수는 약간 많게 나타났지만 N의 증가에 따라 오차가 커지는 Wang의 방법(N=16에서 24개, N=32에서 240개)보다 본 연구의 방법은 정의된 DST 2를 정확히 구현할 수 있음을 확인하였다. 끝으로 DST2 변환과 역변환에 대한 신호흐름선도를 제시하였다.

參 考 文 献

- [1] P.A. Wintz, "Transform picture coding," *Proc. IEEE*, vol.60, pp.809-820, July, 1972.
- [2] N. Ahmed and K.R. Rao, *Orthogonal Transform for Digital Signal Processing*. New York: Springer-Verlag, 1975.
- [3] J.W. Cooley, P.A. Lewis, and P.D. Welch, "Historical notes on the fast Fourier transform," *Proc. IEEE*, vol.55, pp. 1675-1677, Oct., 1967.
- [4] H.C. Andrews, "A high speed algorithm for the computer generation of Fourier transforms," *IEEE Trans. Computers*, vol. C-17, pp. 373-375, April 1968.
- [5] D.F. Elliot and K.R. Rao, *Fast Transform: Algorithms, Analysis and Applications*. New York, NY: Academic Press, 1982.
- [6] W. K. Pratt, "Generalized Wiener filtering computation techniques," *IEEE Trans. Computers*, C-21, pp.636-641, 1972.
- [7] N. Ahmed, T. Natarajan, and K.R. Rao, "Discrete cosine transform," *IEEE Trans. Computer*, vol. C-23, pp.90-93, Jan., 1974.
- [8] A.K. Jain, "A fast Karhunen-Loeve transform for a class of stochastic processes," *IEEE Trans. Commun.*, vol-24, pp.1023-1029, 1976.
- [9] H.B. Kekre and J.K. Solanki, "Comparative performance of various trigonometric unitary transforms for transform image coding," *Int. J. Electron*, vol. 44, pp.305-315, 1978.
- [10] W.S. Chen, C.H. Smith, and S.C. Fralick, "A fast computational algorithm for the discrete cosine transform," *IEEE Trans. Commun.*, vol. COM-25, pp.1004-1009, 1977.
- [11] P. Yip and K.R. Rao, "A fast computational algorithm for the discrete sine transform," *IEEE Trans. Commun.*, vol. COM-28, pp. 304-307, Feb., 1980.
- [12] Z. D. Wang, "A fast algorithm for the discrete sine transform implemented by the fast cosine transform," *IEEE Trans. Acoustics Speech, and Signal Processing*, vol. ASSP-30, pp.814-815, Oct., 1982.
- [13] P. Yip and K.R. Rao, "On the computation and the effectiveness of the discrete sine transform," *IEEE Trans. Comput. Electron.*, vol. 7, pp.45-55, 1980.
- [14] H.S. Kwak, R. Srinivasan, and K.R. Rao, "C-Matrix transform," *IEEE Trans. ASSP.*, vol. ASSP-31, pp.1304-1307, Oct., 1983.
- [15] 박훈성, 신건순, "이산 정현 변환을 위한 고속계산 알고리즘," 대한전자공학회 하계종합학술대회 논문집, vol.7, no.1, pp.307-309, 1984.